

## **9 Přílohy**

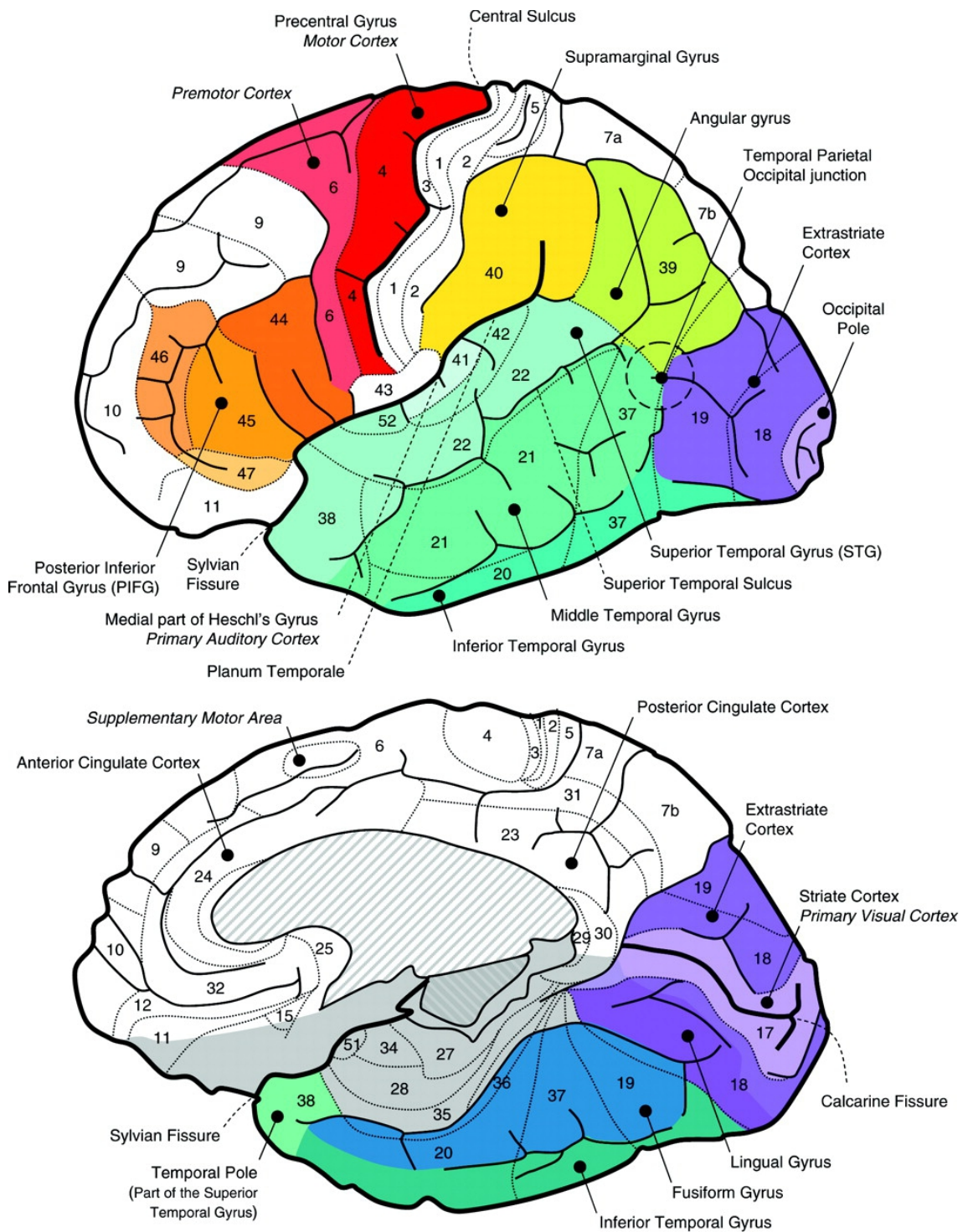
Příloha č. 1: Obr.1 Brodamanova mapa a funkční odlišení jednotlivých oblastí kortexu podle jejich cytoarchitektury

Příloha č. 2: Tab. 1 Konsonanty češtiny a způsob jejich tvoření

Příloha č. 3 : Tab. 2 Přehledová tabulka neurálních odchylek jednotlivých studií

Příloha č. 4 : Použití různých zkratk pro anatomické anatomické struktury

Příloha č. 1: Brodmanova mapa a funkční odlišení jednotlivých oblastí kortexu podle jejich cytoarchitektury



Zdroj: Démonet, Thierry & Cardebat (2005)

Nahoře: Laterální pohled na levou hemisféru; Dole: mediální pohled na pravou hemisféru; jednotlivá čísla označují jednotlivé Brodmanovy arey

Příloha č. 2: Konsonanty češtiny a způsob jejich tvoření

Konsonanty češtiny

		Místo tvoření (= cíl pohybu aktivního artikulačního orgánu)													Akustické/auditivní hledisko			
		labiální				alveolární				palatální		velární				laryngální		
		bilabiální		labiodent.		prealveol.		postalveol.		palatální	velární	laryngální	laryngální			laryngální		
Způsob tvoření	okluzívy	orální	p	b			t	d			c	ɟ	k	g	ʔ		explozívy	
		nazální		m		ɱ		n				ɲ		ŋ			sonanty	
	semiokluzívy					ts	dz	tʃ	dʒ								afrikáty	
	konstríktívy			f	v	s	z	ʃ	ʒ			x	χ		ħ		frikatívy	
	vibranty	frikatívní							ʀ	ʁ								
								r										
	aproximanty	centrální										j						sonanty
laterální							l											
Znělost (+ znělé, – neznělé)			-	+	-	+	-	+	-	+	-	+	-	+	-	+		
		labium (dolní ret)				apex (hrot)				dorzum (hřbet)				glottis (hlasivky)				
		lingva (jazyk)																
Aktivní artikulační orgán nebo jeho část																		

Zdroj: Palková (1997)

Příloha č. 3: Tab. 1. Přehledová tabulka neurálních odchylek jednotlivých studií

Autoři studie (rok)	Získání dat -zobr. Metoda	Poměr pohlaví (M:Ž): 1.skupina koktajících 2.kontrolní skupina	Průměrný věk subjektů: 1.skupina koktajících 2.kontrolní skupina	Výsledky: (+)		Výsledky (-)	
				Pravá hemisféra	Levá hemisféra	Pravá hemisféra	Levá hemisféra
Chang et al (2009)	fMRI, BOLD	11:9 9:11	36,35 35,75	STG HG Insula Putamen BA4	HG Insula Putamen BA4		STG BA 6
Watkins et al (2008)	fMRI, DTI	8:4 6:4	18	Insula Mozeček mesencephalon	Insula Mozeček Mesencephalon	SMA Operculum BA 1,2,3	SMA Operculum BA 1,2,3 HG
Chang et al (2011)	DTI	12:11 13:10	33 35	Funkční a strukturální konektivita mezi BA 44 a BA6			Funkční a strukturální konektivita mezi BA 44 a BA6
Sowman et al (2014)	MEG	10:2 10:2	50,8 měsíců 51,7 měsíců	Nebyly shledány významné rozdíly mezi skupinou koktajících a kontrolní skupinou			
Beal et al (2008)	VBM	11:0 11:0	6-12 6-12	FG STG lobulus parietalis inferior Gyrus postcentralis			IFG Putamen
Chang et al (2015)	DTI, TBSS	20:20 21:16	3-10	IFG (BA45, BA44) Cerebellum	STG Insula (posterior) Vermis	FG MTG/STG SMG (méně než v hemisféře levé) Cerebellum Corpus callosum	FG PMC BA4 STG/MTG Lobus parietalis inferior (BA 40, BA 39) Cerebellum Corpus callosum

## Příloha č. 4 Použití různých zkratk pro anatomické anatomické struktury

### Frontální lalok:

Suplementární motorická oblast = SMA/ PMC / BA 6

Primární motorický kortex = BA 4 / M1

Broccova area = BA44

Gyrus frontalis inferior = IFG = BA44 + BA 45

### Parietální lalok:

Somatosenzorický kortex = gyrus postcentralis = BA 1,2,3

Lobus parietalis inferior: gyrus supramarginalis = SMG / BA 40 + gyrus angularis = BA 39

### Temporální lalok:

gyrus temporalis superior = Wernickova area = BA22 / STG

gyrus temporalis medialis = BA20 / MTG

Heshlovy závitky = BA 42/HG